



# БИООРГАНИЧЕСКАЯ ХИМИЯ

том 8\* №10\* 1982

УДК 547.963.32.07

## СИНТЕЗ $\gamma$ -АМИДОВ НУКЛЕОЗИД-5'-ТРИФОСФАТОВ, ПРОИЗВОДНЫХ ПОЛИМЕТИЛЕНДИАМИНОВ

Добронравова О. В., Зыков С. А., Мустаев А. А.,  
Невинский Г. А.

Новосибирский институт органической химии

Получен ряд производных полиметилендаминов и гидразина структуры  $\text{Ado}^5'PPP\text{NH}(\text{CH}_2)_n\text{NH}PPPA\text{do}$  ( $n=2-8$ ), производных структуры  $\text{Ado}^5'PPP\text{NH}(\text{CH}_2)_n\text{NH}PPP5'\text{A}\text{do}$  ( $n=0; 2-8$ ), а также  $\text{Ado}^5'PPP\text{NH}(\text{CH}_2)_6\text{NH}PPP5'\text{Urd}$  и  $\text{Ado}^5'PPP\cdot\text{NHCH}_2\text{CONH}(\text{CH}_2)_4\text{NHCOCH}_2\text{NH}PPP5'\text{A}\text{do}$ . Все синтезированные соединения охарактеризованы с помощью полного и частичного гидролиза, УФ-спектроскопии, жидкостной микроколоночной хроматографии и ТСХ в нескольких системах. Обсуждается возможность использования таких соединений для исследования нуклеотидзависимых ферментов.

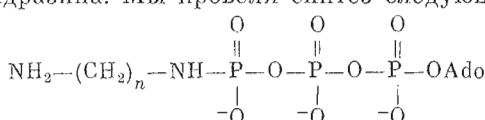
В настоящее время имеется несколько примеров исследования ферментов с помощью бифункциональных производных нуклеотидных субстратов (две молекулы субстрата связаны мостиком). Так, в работе [1] для определения расстояния между АТР- и АМР-связывающими участками аденилаткиназы из мышц кролика использовали соединения типа  $\text{Ado}^5'P_n5'\text{A}\text{do}$  ( $n=2-5$ ). Эти бифункциональные производные АДФ были применены для осаждения ферментов [2-3]. Соединения типа  $\text{Ado}^5'PP5'\text{Gua}$  использовали при исследовании рибосом [4].

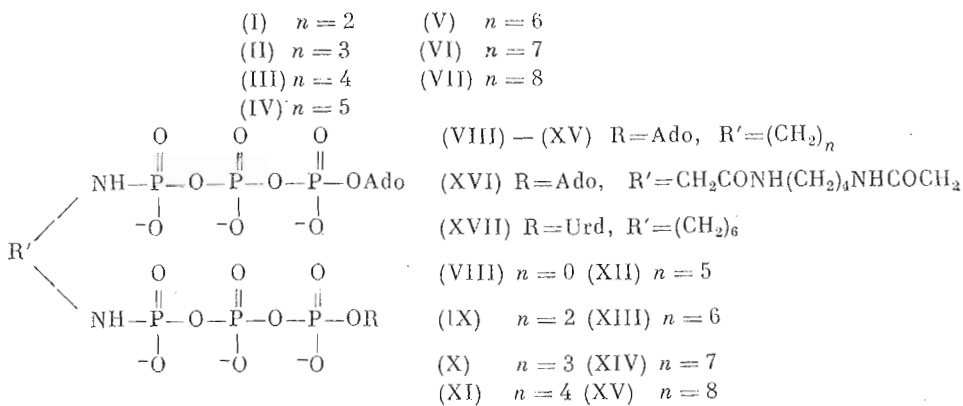
Эффективность связывания бифункциональных аналогов субстратов с ферментами при различных расстояниях между двумя остатками субстрата в молекуле может зависеть от ряда факторов. По изменению эффективности взаимодействия таких бифункциональных аналогов с ферментами можно судить о расстоянии между активными центрами, наличию отрицательной или положительной кооперативности между активными центрами фермента, когда в используемом ряду аналогов есть такие, которые образуют комплексы одновременно с двумя активными центрами димерного фермента.

Нам представлялось интересным синтезировать ряд бифункциональных производных АТР с достаточно большим диапазоном расстояний между остатками нуклеозид-5'-трифосфата.

В настоящее время в литературе описано несколько методов синтеза  $\gamma$ -амидов нуклеозидтрифосфатов. Три из них, с нашей точки зрения, наиболее удобны [5-7]. В первом методе для активации нуклеозидтрифосфатов в водной среде использован водорастворимый карбодиимид [5]. Второй метод — активация нуклеозид-5'-трифосфатов в неводных растворителях с помощью  $N,N'$ -дициклогексилкарбодиимида [6]. Третий метод — окислительное фосфорилирование аминов в присутствии 2,2'-дипиридилидисульфида и трифенилфосфина [7]. Ранее [5-11] с помощью этих методов были синтезированы различные амиды и анилиды (в том числе фотоактивные) нуклеозид-5'-ди- и трифосфатов.

В данной работе была оценена возможность использования указанных методов для синтезаmono- и бифункциональных производных полиметилендаминов и гидразина. Мы провели синтез следующих аналогов АТР:





В зависимости от используемого амина в принципе есть два пути синтеза  $\gamma$ -амидов нуклеозид-5'-трифосфатов: активация нуклеозидтрифосфата в присутствии амина [8–11] или добавление амина к промежуточному нуклеозидтрифосфату [5–7, 14]. В связи с очень высоким  $pK$  ( $\sim 10$ ) аминогрупп полиметилендиаминов в нашем случае при использовании любого из указанных выше методов был возможен только второй вариант синтеза. Известно, что синтез амидов с помощью водорастворимого карбодиимида в этом варианте не может дать высокого выхода продукта [12]. Нами было показано, что моно- (I)–(VII) и бифункциональные производные АТР (VIII)–(XV) могут быть получены с помощью водорастворимого карбодиимида, но выходы не превышают 30–40 и 10–15% соответственно. Синтез моно- и бис-АТР-производных гидразина протекал (как в случае использования водорастворимого карбодиимида, так и дициклогексилкарбодиимида или окислительного фосфорилирования) без заметных особенностей по сравнению с синтезом соответствующих производных полиметилендиаминов. В связи с этим ниже мы не будем отдельно обсуждать этот случай.

Активацию нуклеозидтрифосфатов с помощью дициклогексилкарбодиимида проводили согласно работе [6] с некоторыми модификациями. К образованному из АТР триметафосфату добавляли полиметилендиамины. При добавлении непосредственно диаминов в раствор триметафосфата аденоцина (растворитель диметилформамид или диметилсульфоксид) выпадали плотные осадки, а выход продуктов был минимальным. Выпадения осадков удается избежать, добавляя к раствору активированного АТР водный раствор диамина. В случае синтеза бис-АТР-производных полиметилендиаминов (VIII)–(XV) одновременно с диамином в реакционную смесь добавляли триэтиламин, что было необходимо для более эффективного образования продуктов. При синтезе моно- и бифункциональных производных АТР полиметилендиамины и АТР использовали в соотношении 10–15 : 1 и 1 : 2–3 соответственно. В целом этот метод оказался эффективным для синтеза как моно-, так и бис-АТР-производных диаминов. Соединения (I)–(VII) и (VIII)–(XV) были получены с выходами 80–90 и 40–55% соответственно.

Альтернативным вариантом, как указывалось выше, является активация АТР в присутствии 2,2'-дипиридинилдисульфида и трифенилфосфина, которую проводили в диметилсульфоксиде (или диметилформамиде) согласно [7]. Как и в случае использования N,N'-дициклогексилкарбодиимида, при добавлении диаминов в раствор активированного АТР выпадали плотные осадки. Выпадение осадков наблюдалось и при добавлении водных растворов диаминов (в 10–14-кратном избытке по отношению к АТР). Эффективное образование монофункциональных производных АТР (I)–(VII) достигалось при добавлении к раствору триметафосфата аденоцина растворов диаминов в 50% водном метаноле. Соединения (I)–(VII) были получены с выходом 95–99%. В случае синтеза бифункциональных производных АТР (VIII)–(XV) количество добавляемых полиметилендиаминов было приблизительно в 20 раз меньше. Добавление водно-спиртовых

растворов диаминов в этом случае не приводило к эффективному образованию продуктов (выходы не более 15%). Соединения (VIII)–(XV) были синтезированы с выходами 20–25% при добавлении к триметафосфату аденоцина водных растворов диаминов, содержащих триэтиламин. В целом этот метод оказался наиболее эффективным для синтеза монофункциональных производных АТР (I)–(VII).

Одним из путей увеличения эффективности фосфорилирования полиметилендиаминов триметафосфатом могла быть депротонизация аминогрупп с помощью сильных оснований типа триэтиламина. Однако при добавлении в реакционную смесь триэтиламина одновременно с диамином наблюдалось уменьшение выхода монофункциональных аналогов АТР и образование ADP. Количество образующегося в присутствии триэтиламина на ADP зависело от числа метиленовых звеньев в фосфорилируемом диамине. Так, при использовании АТР, этилендиамина и триэтиламина в соотношении 1 : 15 : 7 содержание ADP в конечной смеси составляло 40–45% и уменьшалось до 3–4% и менее 1% при синтезе  $\gamma$ -амидов АТР-производных тетраметилендиамина (III) и гексаметилендиамина (V) соответственно. Скорее всего накопление ADP в присутствии триэтиламина связано с внутримолекулярным расщеплением фосфодиэфирной связи между  $\gamma$ - и  $\beta$ -атомами фосфора в молекулах  $\gamma$ -амидов (I)–(VII) под действием свободной аминогруппы аналогов. Такого рода реакции внутримолекулярного расщепления фосфодиэфирных связей наблюдали ранее [13] в случае соединений типа  $\gamma$ -2-оксиэтиламида АТР при обработке последних основаниями в мягких условиях. Эффективность такого рода реакций, как отмечается в работе [14], должна уменьшаться с увеличением расстояния между реагирующими группами, что согласуется с нашими результатами. Отсутствие подобной реакции расщепления при проведении синтеза без добавления триэтиламина, очевидно, обусловлено тем, что нефосфорилированная аминогруппа протонирована.

В связи с этим следует подчеркнуть, что эффективное образование бифункциональных аналогов АТР (VIII)–(XVI) наблюдалось только в присутствии триэтиламина. По-видимому, протонированная аминогруппа образует достаточно устойчивую внутреннюю соль с фосфатными остатками монофункционального аналога АТР после его образования. Устойчивость внутренней соли может быть обусловлена высокой эффективной концентрацией аминогруппы в монофункциональных производных АТР, которая может превышать реальную локальную концентрацию ионов аммония в аммоионных солях нуклеозидтрифосфатов, как в случае других соединений, на 5–7 порядков [15]. Присутствие триэтиламина для эффективного образования бифункциональных аналогов АТР (VIII)–(XV), по-видимому, необходимо для разрушения внутренней соли и депротонизации аминогруппы. В то же время одной из причин синтеза бифункциональных аналогов АТР с выходами не более 60%, по-видимому, является конкурирующее с реакцией фосфорилирования второй аминогруппы в присутствии триэтиламина внутримолекулярное расщепление фосфодиэфирной связи в первоначально образующихся монофункциональных аналогах АТР (I)–(VII).

ADP, образующийся в реакционной смеси после добавления водных растворов диаминов, не дает продуктов конденсации с полиметилендиаминами. В то же время предварительно активированный с помощью N,N'-дизициклогексилкарбодиимида или 2,2'-дипиридилилдисульфида и трифенилфосфина ADP реагирует с полиметилендиаминами. Реакционные смеси после добавления в них диаминов имеют pH выше 7,0–7,5. Известно, что в водных растворах активация нуклеотидов с помощью 2,2'-дипиридилилдисульфида и трифенилфосфина не протекает [7], а с помощью карбодиимидов эффективно протекает только при pH растворов ниже 6,0–6,5 [5]. Скорее всего с этим связано отсутствие реакции между диаминами и ADP, образующимися после добавления полиметилендиаминов.

Синтезированные нами монофункциональные производные АТР (I)–(VII) представляются перспективными для синтеза различного рода бифункциональных аналогов субстратов ферментов. Так, свободную амино-

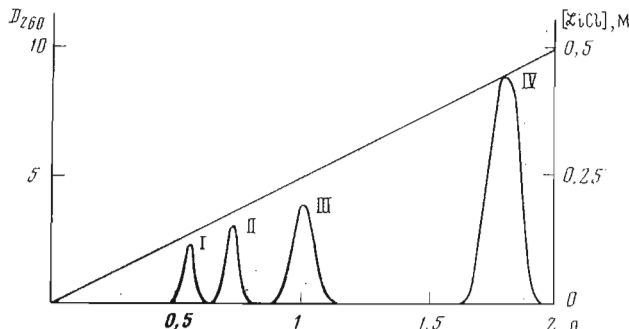


Рис. 1. Хроматографическое выделение ди-АТР-производного гексаметилендиамина (XIII) на DEAE-целлюлозе (Cl<sup>-</sup>-форма) в градиенте концентрации LiCl (рН 8,0). Пик I соответствует  $\gamma$ -(6-аминогексил)амиду АТР (V); II — АДР, III — АТР; IV — производному (XIII)

группу этих соединений можно использовать для присоединения других моно-, ди- и трифосфатов нуклеозидов, аминокислот и т. д.

Последовательным фосфорилированием полиметилендиаминов были получены бифункциональные производные АТР (VIII)–(XV). К триметафосфату аденоцина добавляли 3–5-кратный избыток монофункциональных производных АТР (I)–(VII). При активации АТР с помощью N,N'-дициклогексилкарбодииимида или 2,2'-дипиридилидисульфида и трифенилфосфина соединения (VIII)–(XV) образуются с выходами 40–50 и 40–60% соответственно.

На основе производного гексаметилендиамина (V) нами было синтезировано соединение (XVII), в котором одна из аминогрупп диамина фосфорилирована  $\gamma$ -фосфатным остатком АТР, а другая —  $\gamma$ -фосфатным остатком УТР. Для синтеза этого соединения к триметафосфату урицина, полученному с помощью N,N'-дициклогексилкарбодииимида, добавляли эквимольное количество  $\gamma$ -(6-амилогексил)амида АТР (V). Выход соединения (XVII) составлял 30–35%.

Одним из возможных путей значительного удлинения «мостиков» между нуклеотидами в бифункциональных производных АТР может быть использование бифункциональных производных аминокислот, в которых карбоксильные группы двух молекул аминокислот соединены «мостиками» из полиметилендиаминов. В то же время такие производные аминокислот представляют самостоятельный интерес для исследования некоторых олигомерных ферментов, взаимодействующих с аминокислотами. Мы провели синтез бифункционального производного глицина — N,N'-диглицилтетраметилендиамина (XVIII).

Было показано, что конденсация избытка N-трифторацетилглицина с тетраметилендиамином в abs.диметилформамиде в присутствии N,N'-дициклогексилкарбодииимида с последующим удалением защитных групп приводит к образованию диамина (XVIII) с высоким выходом (70–80%). Аналогичный результат был получен при конденсации N-трифторацетилфенилаланина с гексаметилендиамином (эксперимент не приводится).

Полученный нами диамин (XVIII) был использован для синтеза бифункционального производного АТР (XVI). Конденсацию этого диамина с АТР проводили с помощью N,N'-дициклогексилкарбодииимида. Выход бифункционального аналога (XVI) составил 30%.

Все синтезированные соединения (I)–(XVII) были выделены из реакционных смесей с помощью хроматографии на DEAE-целлюлозе в линейных градиентах концентраций TEAB (монофункциональные (I)–(VII) производные) или хлористого лития (бифункциональные (VIII)–(XVII) производные). Элюция всех монофункциональных производных (I)–(VII) наблюдалась при концентрации TEAB 0,07–0,08 М. В качестве примера очистки бифункциональных производных АТР на рис. 1 приведены данные хроматографического выделения соединения (XII). Замена TEAB на хлористый литий в случае бифункциональных производных (VIII)–

### Хроматографические подвижности аналогов АТР

Соединение	$R_f$ в системе			Соединение	$R_f$ в системе		
	А	Б	В		А	Б	В
(I)	0,24	0,20	0,21	(VIII)	0,10	0,23	0,30
(II)	0,28	0,21	0,19	(IX)	0,13	0,26	0,33
(III)	0,25	0,15	0,13	(X)	0,15	0,27	0,36
(IV)	0,33	0,20	0,17	(XI)	0,16	0,26	0,32
(V)	0,39	0,17	0,16	(XII)	0,18	0,27	0,30
(VI)	0,45	0,26	0,20	(XIII)	0,30	0,30	0,31
(VII)	0,47	0,28	0,23	(XIV)	0,35	0,34	0,33
				(XV)	0,46	0,21	0,22
				(XVI)	0,1	0,34	—

(XVII) позволила избежать частичного гидролиза этих соединений при хроматографии и последующем выделении сухих продуктов.

После очистки гомогенность продуктов определяли методами ТСХ (см. таблицу) и микроколоночной хроматографии в системе Томлинсона-Тенера [16]. Аналоги АТР были гомогенны по данным метода ТСХ, а также по данным микроколоночной хроматографии. Монофункциональные аналоги (I)–(VII) элюировались со смолы как соединения, имеющие два отрицательных заряда, а бифункциональные аналоги (VIII)–(XVII) – как шестизарядные соединения.

Все синтезированные аналоги АТР были охарактеризованы с помощью УФ-спектроскопии. Однотипные аналоги имеют практически идентичные спектры. Так, все монофункциональные аналоги (I)–(VII) при pH 5,0 имеют  $\lambda_{\max}$  258 нм, а  $\lambda_{\min}$  231 нм; при pH 13 для всех производных  $\lambda_{\max}$  равно 260 нм, а  $\lambda_{\min}$  229,5 нм. Все синтезированные бифункциональные аналоги АТР (VIII)–(XVI) при pH 5,0 имеют  $\lambda_{\max}$  260 нм, а  $\lambda_{\min}$  229 нм; при pH 13,0 для них характерны  $\lambda_{\max}$  261 нм,  $\lambda_{\min}$  230 нм. Спектральные характеристики аналогов АТР несущественно отличаются от спектральных характеристик для АТР.

При гидролизе гомогенных по всем тестам препаратов монофункциональных производных (I)–(VII) в 0,1 н. HCl при 25° С в течение 1–2 ч получаются АТР и соответствующие диамины в соотношении 1 : 1. Продукты гидролиза идентифицированы с помощью метода ТСХ и микроколоночной хроматографии.

Бифункциональные аналоги АТР (VIII)–(XV) оказались менее стабильными при кислотной обработке. Результат анализа смеси продуктов гидролиза бис-АТР производного пентаметилендамина (XII) до инкубации и после инкубации в 0,01 н. HCl при 25° С в течение 10 мин и 1 ч показывает (рис. 2), что через 10 мин после инкубации аналога в кислом растворе присутствуют исходное бифункциональное производное (XII), монофункциональное производное (IV) и АТР. Спустя 1 ч в смеси практически отсутствует исходный бифункциональный аналог АТР (XII). Аналогичный результат получен при исследовании других бифункциональных аналогов АТР (VIII)–(XV). Время полугидролиза бифункциональных аналогов АТР в указанных условиях равно приблизительно 10 мин.

Согласно данным анализа с помощью микроколоночной хроматографии производного гексаметилендамина (XVII), содержащего в своем составе АТР и UTP, до и после полного кислого гидролиза этого соединения в продуктах полного гидролиза присутствуют АТР и UTP в эквимольных соотношениях, что служит подтверждением структуры этого соединения (рис. 3).

Таким образом, синтезирован ряд новых аналогов АТР. Моно- и бифункциональные аналоги АТР исследованы в реакции аминоацилирования тРНК, катализируемой фенилаланил-тРНК-синтетазой из *E. coli* штамма MRE-600. Все аналоги являются ингибиторами фермента. Обнаружена субстратная активность некоторых бифункциональных аналогов АТР в системе ДНК-зависимой РНК-полимеразы из *E. coli*.

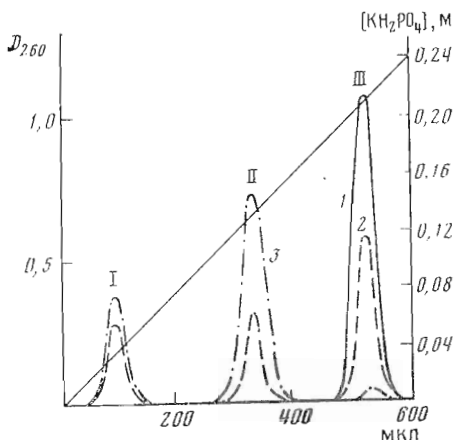


Рис. 2

Рис. 2. Разделение с помощью микроколонической хроматографии продуктов кислого гидролиза ди-АТР-производного пентаметилендиамина (XII) на целлюлозе DE-41 в системе Томлинсона-Тенера: 1 — бифункциональное производное АТР (XII) до гидролиза, 2 — через 10 мин и 3 — 1 ч инкубации соединения (XII) в 0,01 н. HCl при 25° С. Пик I соответствуетmonoамиду АТР (IV); II — АТР; III — бифункциональному аналогу АТР (XII)

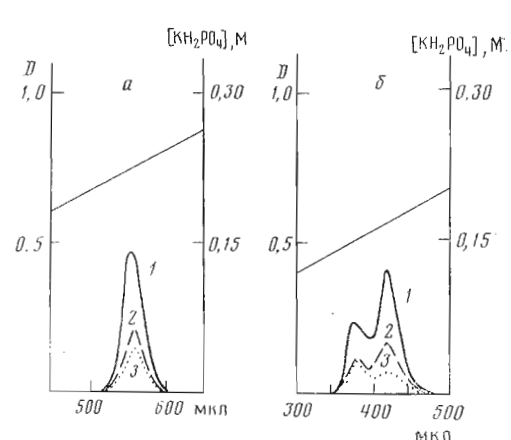


Рис. 3

Рис. 3. Анализ с помощью микроколонической хроматографии производного гексаметилендиамина, содержащего остатки АТР и УТР (XVI), и продуктов его полного гидролиза на целлюлозе DE-41 в системе Томлинсона-Тенера (0–0,3 М K<sub>2</sub>HPO<sub>4</sub>, 750 мкл): а — исходное соединение (XVI); б — продукты полного гидролиза соединения (XVI). 1 — изменение оптической плотности при 260 нм, 2 — при 240 нм, 3 — при 280 нм

### Экспериментальная часть

В работе использовали глицин, АТР, УТР (Reanal, ЧССР), 2,2'-дипиридинилдисульфид и гидразин (Merck, ФРГ), трифенилфосфит (Chemapol, ЧССР), N,N'-дициклогексилкарбодиимиид (Serva, ФРГ). Водорастворимый n-толуолсульфонат N-циклогексил-N'-β-(4-метилморфоролиний) этилкарбодиимиид получен из НИОХ СО АИ СССР. Этилендиамин — производства «Союзреактив», другие полиметилендиамины — фирмы Lawson (Англия), остальные реагенты квалификации х.ч. и ос.ч.

В работе использовали также миллипоровые фильтры HUFS (Chemapol, ЧССР), DEAE-целлюлозу отечественного производства и целлюлозу DE-41 (Whatman, Англия) для микроколоночной хроматографии. В работе использовали нуклеозидтрифосфаты, содержащие не более 1% примесей.

Гомогенность продуктов контролировали с помощью ТСХ на стандартных пластинках Silufol UV 254 (Kavalier, ЧССР) в системах: изомасляная кислота — триэтиламин — вода, 66 : 1 : 33 (A), диоксан — вода — конц. аммиак, 6 : 4 : 1 (B), изопропанол — триэтиламин — вода, 7 : 1 : 2 (B), а также с помощью метода микроколонической хроматографии в системе Томлинсона-Тенера (7 М мочевина, калий-фосфатный буфер, pH 7,5) на целлюлозе DE-41.

УФ-спектры регистрировали на спектрометре Specord UV-VIS (ГДР).

*Синтез аналогов АТР с помощью N,N'-дициклогексилкарбодиимида.* Активацию АТР проводили согласно работе [6] с некоторыми модификациями. Раствор 0,5 ммоль АТР (Et<sub>3</sub>NH<sup>+</sup>-форма) в 10 мл абс. диметилформамида предварительно выдержанного в течение 1–2 сут с 7,5 ммоль N,N'-дициклогексилкарбодиимида, инкубировали 5 ч при 20° С и добавляли 0,2–7,5 ммоль одного из полиметилендиаминов в 5 мл воды. В случае синтеза монофункциональных производных (I)–(VII) максимальный выход (80–90%) достигался при использовании АТР и диамина в соотношении 1 : 10–15. При синтезе бифункциональных производных (VIII)–(XV) максимальный выход 40–55% был получен при использовании АТР и

диамина в соотношении 3 : 1 и добавлении метафосфата в водный раствор, содержащий диамин и 0,2–0,5 мл триэтиламина. Через 30 мин в реакционную смесь добавляли 0,5 мл насыщенного водного раствора LiClO<sub>4</sub> и 100 мл ацетона. Выпавший осадок отделяли от маточника центрифугированием в течение 10 мин при 6000 об/мин, растворяли в 50 мл воды и использовали для выделения гомогенного продукта как описано ниже.

**Синтез аналогов АТР с помощью 2,2'-дипиридилидисульфида и трифенилфосфина.** Активацию АТР с помощью 2,2'-дипиридилидисульфида и трифенилфосфина проводили согласно [7] с некоторыми модификациями. Раствор 0,5 ммоль АТР ( $\text{Et}_3\text{NH}^+$ -форма) в 10 мл абс. диметилсульфоксида (или диметилформамида), содержащего 0,75 ммоль 2,2'-дипиридилидисульфида и 0,75 ммоль трифенилфосфина, встряхивали 1 ч при 20° С до полного растворения АТР. Затем к реакционной смеси добавляли соответствующий диамин: 10–15-кратный избыток (5–7,5 ммоль) по отношению к АТР при синтезе монофункциональных производных (I)–(VII) и 2–3-кратный недостаток (0,17–0,25 ммоль) диамина при синтезе бифункциональных производных (VIII)–(XV). При синтезе бифункциональных аналогов к 20 мл 50% водного метанола добавляли 0,2–0,5 мл триэтиламина и диамины и затем приливали к раствору триметаfosфата аденоzина при энергичном перемешивании. Через 30 мин реакционную смесь выливали по каплям в 200 мл ацетона, содержащего 2% NaClO<sub>4</sub>, выдерживали 2–3 ч при –10° С. Выпавший осадок отделяли центрифугированием и подвергали хроматографии как описано ниже.

**Синтез бифункционального производного (XVII).** К 12 мг  $\gamma$ -(6-амино-тексил)амида АТР в 100 мкл воды добавляли 10 мкл триэтиламина и 300 мкл 0,14 М раствора триметаfosфата урицина в DMSO, полученного по аналогии с синтезом триметаfosфата аденоzина. Смесь выдерживали 30 мин при 20° С и затем обрабатывали как описано выше. Выход продукта 25–30%. Соотношение  $D_{240}/D_{280}$  и  $D_{260}/D_{280}$  равно 0,36 и 0,34 соответственно.

**Очистка монофункциональных аналогов АТР.** Осадки, полученные при синтезе  $\gamma$ -амидов АТР (I)–(VII), растворяли в 50 мл воды, фильтровали через нитроцеллюлозный фильтр для удаления нерастворимого в воде осадка и наносили на колонку (2,6×30 см) с DEAE-целлюлозой ( $\text{HCO}_3^-$ ). Гомогенные продукты элюировали в линейном градиенте концентраций TEAB, pH 7,5 (0–0,18 M), объемом 2 л со скоростью 100–150 мл/ч. Объем фракций 10–15 мл. Элюцию продуктов контролировали по поглощению при 260 нм. Фракции, соответствующие пику продукта, объединяли и упаривали при 25–30° С. Продукты переводили в натриевую форму переосаждением из 100 мл ацетона, содержащего 2% NaClO<sub>4</sub>. Осадок трижды промывали ацетоном и затем сушили в вакууме. С помощью N,N'-дициклогексилкарбодимида было получено по 150–300 мг, а окислительное фосфорилирование дало 160–350 мг монофункциональных аналогов АТР.

**Очистка бифункциональных аналогов АТР.** Осадки, полученные при синтезе  $\gamma$ -амидов АТР (VIII)–(XVII) разными методами, растворяли в 50 мл воды, фильтровали через нитроцеллюлозный фильтр и наносили на колонку (2,5×40 см) с DEAE-целлюлозой ( $\text{Cl}^-$ ). Соединения элюировали в линейном градиенте LiCl (0–0,5 M) объемом 2 л при pH 8,0. Фракции, соответствующие бифункциональным аналогам (VIII)–(XVII), объединяли и упаривали при 25° С до минимального объема (2–3 мл). К остатку добавляли 0,5 л ацетона и 50 мл этанола. Смесь перемешивали до исчезновения границы раздела фаз, затем оставляли на 5–7 ч при –20° С. Выпавший осадок отделяли центрифугированием. Все продукты получены в липидной форме по аналогии с получением натриевых солей монофункциональных аналогов АТР, как описано выше. С помощью N,N'-дициклогексилкарбодимида было получено 70–140 мг, а окислительным фосфорилированием – 20–70 мг сухих препаратов бифункциональных аналогов АТР.

**Анализ структуры аналогов АТР.** Гомогенные, по данным ТСХ и микролюминесценции хроматографии, монофункциональные производные (I)–(VII) подвергали гидролизу 0,1 н. HCl при 25° С в течение 1–2 ч. Бифункциональные аналоги АТР (VIII)–(XVI) гидролизовали 2,5–3 ч 0,01 н. HCl при 25° С. Продукты гидролиза идентифицировали с помощью методов

ТСХ и микроколоночной хроматографии в системе Томлинсона-Тенера. Положение пятен (соответствующих полиметилендаминам) на пластинах идентифицировали с помощью цветной реакции диаминов с никгидрином (пластиинки опрыскивали 0,2% раствором никгидрина в ацетоне). Согласно полученным данным, продукты полного гидролиза моно- и бифункциональных аналогов (I)–(XVI) содержали АТР и соответствующие диамины. При использовании указанных условий гидролиза суммарное количество АДР и АМР (определяли микроколоночной хроматографией) в продуктах гидролиза моно- и бис-АТР-производных не превышало 4–5 и 0,5–1,0% соответственно. Количество образующегося при гидролизе АТР определяли спектрофотометрически после очистки с помощью хроматографии. Количество фосфатных остатков в нуклеотиде определяли по элюирующей концентрации буфера при хроматографии. Дополнительный анализ количества фосфатных групп в аналогах АТР проводили после полного окисления аналогов в смеси серной и азотной кислот согласно [17] с помощью колориметрического метода по образованию молибденовой сини согласно [18]. Калибровочная кривая была получена с помощью растворов, содержащих известное количество  $\text{K}_2\text{HPO}_4$ . Количество диаминов в гидролизате определяли по поглощению продуктов взаимодействия диаминов с 2,4-динитрофторобензолом и калибровочных кривых для соответствующих диаминов согласно [19]. Ошибка использованных методов не превышала 5%. Было установлено, что монофункциональные и бифункциональные аналоги АТР содержат диамины и АТР в соотношении 1:1 и 1:2 соответственно.

*Синтез N,N'-диглицилтетраметилендамина (XVIII).* N-Трифторацетилглицин синтезировали по аналогии с синтезом N-трифторацетилфенилаланина [20]. К 5 г глицина в 120 мл этилацетата добавляли 30 мл трифторуксусного ангидрида при 20° С, смесь встряхивали в течение ~15 ч до полного растворения аминокислоты. Затем раствор упаривали в вакууме досуха, к сухому остатку добавляли 100 мл 50% водного этанола и снова раствор упаривали досуха для удаления следов трифторуксусной кислоты. Получено 9,2 г продукта, который перекристаллизовывали из эфира. Выход соединения 7,8 г (80%). Найдено %: С 24,90; Н 2,85; N 9,65.  $\text{C}_8\text{H}_{14}\text{F}_3\text{NO}_2$ . Вычислено, %: С 25,01; Н 2,80; N 9,73.

N,N'-Диглицилтетраметилендамин (XVIII) получали конденсацией 1 г N-трифторацетилглицина с 0,2 г тетраметилендамина в 25 мл диметилсульфоксида в присутствии 1,5 г N,N'-дициклогексилкарбодиимида в течение 20 ч при 20° С. Для снятия трифторацетильных групп с  $\alpha$ -аминогрупп остатков глицина в продукте конденсации к полученному раствору добавляли 60 мл 25% раствора аммиака и смесь встряхивали 1 сут при 20° С. После удаления аммиака упариванием раствора в вакууме до 25 мл к раствору добавляли 50 мл ацетона. Выпавший осадок фильтровали, к маточному раствору добавляли еще 25 мл ацетона. Выпавший осадок снова отделяли от маточного раствора. Выход диамина (XVIII) 0,35–0,38 г (75–80%). Полученный продукт был гомогенным по данным ТСХ ( $R_f$  0,28 и 0,47 в системах А и Б соответственно). Найдено, %: С 47,49; Н 9,11; N 27,55.  $\text{C}_8\text{H}_{18}\text{N}_4\text{O}_2$ . Вычислено, %: С 47,52; Н 8,99; N 27,70. ИК-спектр ( $\nu, \text{см}^{-1}$ ): 3455 (NH<sub>2</sub>, широкая полоса), 1670 (NHC=O), 1630 (NH<sub>2</sub>), 1540 (CON–H). По сравнению с исходным тетраметилендамином в спектре его диглицильного производного (XVIII) исчезает сильная широкая полоса с тремя максимумами в области 3200–3550  $\text{см}^{-1}$ , обусловленная алифатическими аминогруппами.

Авторы глубоко признательны М. А. Грачеву и О. И. Лаврик за постоянный интерес к работе и ценные замечания при подготовке статьи.

## ЛИТЕРАТУРА

1. Lienhard G. E., Secemski I. J. J. Biol. Chem., 1973, v. 248, № 3, p. 1121–1123.
2. Lee C., Larsson P. O., Mosbach K. J. Solid-Phase Biochem., 1977, v. 2, p. 31–37.
3. Larsson P. O., Mosbach K. FEBS Lett., 1979, v. 98, № 2, p. 333–336.
4. Hiskey E., Weber L., Baglioni C., Kim Ch., Sarma R. J. Mol. Biol., 1977, v. 109, № 2, p. 173–178.

5. Бабкина Г. Т., Зарытова В. Ф., Кнорре Д. Г. Биоорган. химия, 1975, т. 1, № 5, с. 611–615.
6. Knorre D. G., Kurbatov V. A., Samukov V. V. FEBS Lett., 1976, v. 70, № 1, p. 105–108.
7. Мишенина Г. Ф., Самуков В. В., Шубина Т. Н. Биоорган. химия, 1979, т. 5, № 6, с. 886–894.
8. Невинский Г. А., Лаврик О. И., Фасорова О. О., Киселев Л. Л. Биоорган. химия, 1979, т. 5, № 3, с. 352–364.
9. Невинский Г. А., Денисов А. Ю. Биоорган. химия, 1981, т. 7, № 11, с. 1693–1700.
10. Лаврик О. И., Невинский Г. А., Рязанкин И. А. Мол. биол., 1979, т. 13, № 5, с. 1001–1011.
11. Grachev M. A., Knorre D. G., Lavrik O. I. In: Biology Reviews. V. 2 / Ed. Skulachev V. P. Swirzerland: Harwood Acad. Publ., 1981, p. 107–143.
12. Грачев М. А., Кнорре Д. Г., Курбатов В. А., Нетесов С. В. Изв. Сиб. отд. АН СССР, 1976, т. 2, вып. 1, с. 117–123.
13. Микельсон А. Химия нуклеозидов и нуклеотидов. М.: Мир, 1966, с. 286.
14. Дженикс В. Катализ в химии и энзимологии. М.: Мир, 1972, с. 15–41.
15. Фершт А. Структура и механизм действия ферментов. М.: Мир, 1980, с. 57–60.
16. Грачев М. А. В кн.: Ультрамикроанализ нуклеиновых кислот / Ред. Кнорре Д. Г., Венкстерн Т. В. М.: Наука, 1973, с. 104–133.
17. Губен-Вейль. Методы органической химии. М.: Химия, 1967, т. 2, с. 201–205.
18. Grinley G. B., Nichol Ch. A. Anal. Biochem., 1970, v. 33, № 1, p. 114–119.
19. Дэвени Т., Грей Я. Аминокислоты, пептиды, белки. М.: Мир, 1976, с. 272–274.
20. Лаврик О. И., Moor H. A., Невинский Г. А., Ходырева С. Н. Биоорган. химия, 1981, т. 7, № 6, с. 884–893.

Поступила в редакцию  
9.III.1982  
После доработки  
9.IV.1982

## SYNTHESIS OF NUCLEOSIDE 5'-TRYPHOSPHATE $\gamma$ -AMIDES, POLYMETHYLENEDIAMINE DERIVATIVES

DOBROKONRAHOVA O. V., ZYKOV S. A., MUSTAEV A. A., NEVINSKY G. A.

*Institute of Organic Chemistry, Siberian Branch of the  
Academy of Sciences of USSR, Novosibirsk*

The synthesis of polymethylenediamine ATP-derivatives:  $\text{NH}_2(\text{CH}_2)_n\text{NH}^{\bullet}\text{PPPAdo}$  ( $n$  2–8); Ado5'PPPNH(CH<sub>2</sub>)<sub>n</sub>NH<sup>•</sup>PPP5'Ado ( $n$  2–8); Ado5'PPPNH(CH<sub>2</sub>)<sub>n</sub>NH<sup>•</sup>PPP5'Urd and Ado5'PPPNHCH<sub>2</sub>CONH(CH<sub>2</sub>)<sub>4</sub>NHCOCH<sub>2</sub>NH<sup>•</sup>PPP5'Ado is described. All ATP analogs were characterized by complete and partial acid hydrolyses, UV-spectroscopy, TLC in several systems, and liquid microcolumn chromatography. A possibility of using these compounds for studies on nucleotide binding enzymes is discussed.